

Б. С. КОВАЛЬСКИЙ

ТЕОРИЯ МНОГОСЛОЙНОЙ НАВИВКИ КАНАТА

(Представлено академиком А. И. Некрасовым 18 VII 1950)

Пусть  $T(R, r)$  — натяжение каната в слое  $r$  при внешнем радиусе навивки  $R$  (рис. 1). При  $R = r$  натяжение  $T(r, r)$  определяется весом груза и собственным весом свисающего конца каната и, таким образом, является функцией  $r$ ; пусть  $T(r, r) = T_0(r)$ .

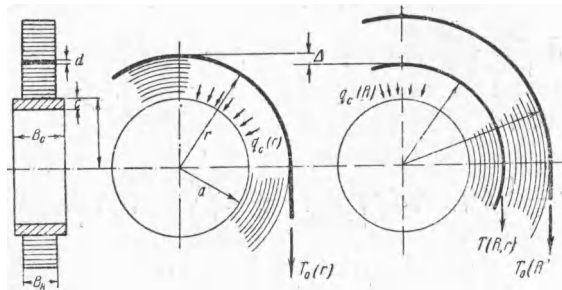


Рис. 1

После навивки слоя  $rR$  ранее навитый слой  $ar$  и сердечник (бобина, барабан) получают дополнительно обжатие  $\Delta$  — радиус витка  $r$  уменьшается и, соответственно, натяжение в канате падает от  $T_0(r)$  до  $T(R, r)$ . Если  $E_k F_k$  — жесткость каната на растяжение, то

$$\Delta = \frac{r}{E_k F_k} [T_0(r) - T(R, r)],$$

или

$$\Delta = \frac{\rho ad}{E_k F_k} [t_0(\rho) - t(\eta, \rho)], \quad (1)$$

где  $\eta = R/a$ ,  $\rho = r/a$ ,  $t(\eta, \rho) = T(R, r)/d$ ,  $t_0(\rho) = T_0(r)/d$ , а  $d$  — толщина каната.

Радиальное давление в слое  $r$  от натяжения витков слоя  $rR$  равно

$$q = \frac{1}{r} \int_r^R t(\eta, \rho) d\rho = \frac{1}{\rho} \int_\rho^\eta t(\eta, x) dx.$$

Обозначая через  $K$  „модуль поперечного сжатия каната“ под влиянием радиальной нагрузки  $q$ , находим радиальное сжатие слоя  $ar$  при навивке слоя  $rR$ :

$$\Delta_\eta = \frac{1}{B_k} \int_a^r \frac{q dr}{K} = \frac{a}{B_k} \int_1^\rho \frac{dx}{xK} \int_x^\eta t(\eta, x) dx.$$

При  $\eta = \rho$  имеем

$$\Delta_\rho = \frac{a}{B_k} \int_1^\rho \frac{dx}{xK} \int_x^\rho t(\rho, x) dx,$$

следовательно, навивка слоя  $rR$  вызывает обжатие слоя  $ar$  на

$$\Delta_k = \Delta_\eta - \Delta_\rho = \frac{a}{B_k} \int_1^\rho \left[ \int_x^\eta t(\eta, x) dx - \int_x^\rho t(\rho, x) dx \right] \frac{dx}{xK}. \quad (2)$$

Изменение радиуса сердечника при навивке слоя  $rR$  определяется выражением

$$\Delta_c = \frac{ka^2}{E_c B_c c} \left[ \int_1^\eta t(\eta, x) dx - \int_1^\rho t(\rho, x) dx \right], \quad (3)$$

где

$$k = \frac{1 - \mu + (1 + \mu)(1 - c/a)^2}{2 - c/a}.$$

Подставляя  $\Delta = \Delta_k + \Delta_c$  в (1) и вводя обозначения  $\omega^2 = \frac{\gamma E_k}{K}$ ,  $\lambda = \frac{\gamma E_k B_c k R}{E_c B_c c} = \frac{E_k F_k}{E_c F_c} \frac{R}{d}$ , в которых  $\gamma$  — коэффициент металлического заполнения сечения каната, приходим к интегральному уравнению относительно  $t(\eta, \rho)$ :

$$\int_1^\rho \left[ \int_x^\eta t(\eta, x) dx - \int_x^\rho t(\rho, x) dx \right] \frac{\omega^2 dx}{x} + \lambda \left[ \int_1^\eta t(\eta, x) dx - \int_1^\rho t(\rho, x) dx \right] = \rho [t_0(\rho) - t(\eta, \rho)]. \quad (4)$$

В общем случае, поскольку  $K$  зависит от  $t(\eta, \rho)$  и  $q(\eta, \rho)$ , имеем  $\omega = \omega(t, q)$  — решение может быть получено путем последовательных приближений. Оперируя же с некоторым усредненным значением  $\omega = \text{const}$  (различным для канатов разных конструкций), уравнение (4) можно привести к более простому уравнению относительно  $\varphi(\rho) = \frac{\partial}{\partial \eta} t(\eta, \rho)$ :

$$(1) \quad \omega^2 \int_1^\rho \left[ t_0(\eta) + \int_x^\eta \varphi(x) dx \right] \frac{dx}{x} + \lambda \left[ t_0(\eta) + \int_1^\eta \varphi(x) dx \right] = -\rho \varphi(\rho). \quad (5)$$

Решение (5) имеем в виде

$$\varphi(\rho) = \frac{\partial}{\partial \eta} t(\eta, \rho) = -\omega t_0(\eta) \frac{\rho^{\omega-1} - \beta \rho^{-\omega-1}}{\eta^\omega + \beta \eta^{-\omega}}, \quad \beta = \frac{\omega - \lambda}{\omega + \lambda},$$

откуда непосредственно следует

$$t(\eta, \rho) = t_0(\rho) - (\rho^{\omega-1} - \beta \rho^{-\omega-1}) \int_\rho^\eta \frac{\omega t_0(x) dx}{x^\omega + \beta x^{-\omega}}. \quad (6)$$

Если закон  $t_0(\rho)$  известен (например, для случая бобинного подъема  $t_0(\rho) = A - \beta \rho^2$ ), то вычисление  $t(\eta, \rho)$  по (6) затруднений не представляет. На рис. 2 приведены графики  $t(\eta, \rho)$  при  $\eta = 2$ ,  $\omega = 10$  и  $20$ ,  $\lambda = 3$  и  $t_0(\rho) = 6950 - 1000 \rho^2$  (вес клетки с грузом 5000 кг, вес каната 5100 кг, канат  $106 \times 17$  мм, число витков 83,  $a = 140$  см,  $R = 280$  см). Как видим, упругая податливость каната и сердечника значительно снижает натяжение витков каната (при этом мы допускаем, что для витков, работающих на сжатие, модуль упругости  $E_k$  сохраняет свое значение).

Получив закон изменения натяжения в витках каната (6), находим радиальную нагрузку сердечника

$$q_c = \frac{1}{a} \int_a^R t(\eta, \rho) dr = \int_1^\eta t(\eta, \rho) d\rho =$$

$$= \int_1^\eta \left\{ t_0(\rho) - (\rho^{\omega-1} - \beta \rho^{-\omega-1}) \int_0^\eta \frac{\omega t_0(x) dx}{x^\omega + \beta x^{-\omega}} \right\} d\rho = (1 + \beta) \int_1^\eta \frac{t_0(x) dx}{x^\omega + \beta x^{-\omega}}, \quad (7)$$

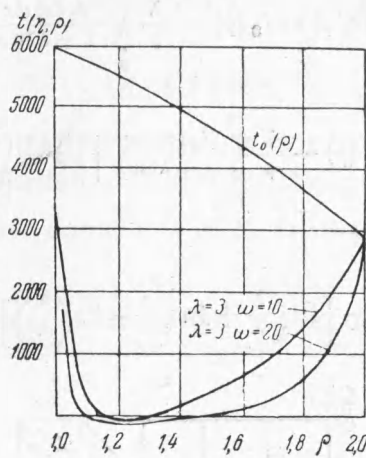


Рис. 2

или — в виде, более удобном для вычислений, — в виде быстро сходящегося ряда:

$$q_c = (1 + \beta) \int_1^\eta \sum_{k=1}^{\infty} (-\beta)^{k-1} t_0(x) x^{-(2k-1)\omega} dx =$$

$$= (1 + \beta) \sum_{k=1}^{\infty} (-\beta)^{k-1} \int_1^\eta t_0(x) x^{-(2k-1)\omega} dx. \quad (8)$$

В частном случае  $t_0(\rho) = t_0 = \text{const}$  выражение (8) переходит в

$$q_c = t_0 (1 + \beta) \sum_{k=0}^{\infty} \frac{(-\beta)^k}{(2k+1)\omega-1} (1 - \eta^{-(2k+1)\omega+1}). \quad (9)$$

В практических расчетах при не малых  $\omega$  и  $\eta$  вместо (9) с большой точностью можно пользоваться его асимптотическим значением

$$q_c = t_0 (1 + \beta) \sum_{k=0}^{\infty} \frac{(-\beta)^k}{(2k+1)\omega-1}. \quad (10)$$

Удельная нагрузка  $p = q_c / B_k$  бобины в случае, представленном на рис. 2, при  $\omega = \lambda = 0$  оказывается равной  $435 \text{ кг/см}^2$ , учет же поперечных деформаций каната и сжатия бобины ( $\omega = 20$ ,  $\lambda = 3$ ) дает  $p = 50 \text{ кг/см}^2$ .

Анализ полученного решения указывает на большую эффективность учета поперечных деформаций каната под влиянием поперечной нагрузки (изменения диаметра каната вследствие изменения его натя-

жения не учитываем, так как этот момент имеет много меньшее значение, чем влияние поперечной нагрузки). Оценку этого эффекта дает сравнение со случаем  $\omega = 0$  ( $K = \infty$ ), когда (4) переходит в уравнение

$$\int_1^\eta t(\eta, x) dx - \int_1^\rho t_0(\rho, x) dx = \frac{\rho}{\lambda} [t_0(\rho) - t(\eta, \rho)], \quad (11)$$

решение которого

$$t(\eta, \rho) = t_0(\rho) - \frac{\lambda}{\rho} \int_\rho^\eta \frac{t_0(x) dx}{1 + \lambda \ln x} \quad (12)$$

дает

$$q_c = \int_1^\eta \left[ t_0(\rho) - \frac{\lambda}{\rho} \int_\rho^\eta \frac{t_0(x) dx}{1 + \lambda \ln x} \right] d\rho = \int_1^\eta \frac{t_0(\rho) d\rho}{1 + \lambda \ln \rho}, \quad (13)$$

а при  $t_0(\rho) = t_0 = \text{const}$

$$q_c = t_0 \int_1^\eta \frac{d\rho}{1 + \lambda \ln \rho} = \frac{t_0}{\lambda e^{1/\lambda}} \left[ \text{Ei}\left(\frac{1}{\lambda} + \ln \eta\right) - \text{Ei}\left(\frac{1}{\lambda}\right) \right], \quad \text{Ei}x = \int_{-\infty}^x \frac{e^u du}{u}. \quad (14)$$

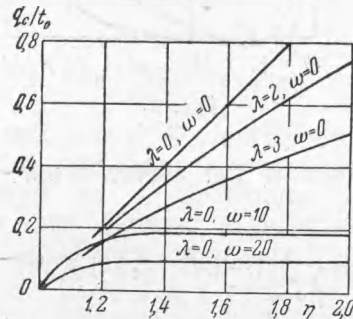


Рис. 3

Сравнительные подсчеты  $q_c$  по (9) при  $\lambda = 0$ ,  $\omega = 10$  и по (14) при  $\lambda = 2$  и  $3$ ,  $\omega = 0$  приведены на рис. 3. Там же нанесена прямолинейная зависимость для случая навивки неподатливого в поперечном направлении каната на абсолютно жесткий сердечник ( $\omega = \lambda = 0$ ).

В случае многослойной навивки круглого каната натяжение витков в каждом из слоев не является одинаковым, однако неравномерность натяжения витков вообще невелика и все полученные выше зависимости могут быть использованы также и в этом случае.

Поступило  
17 V 1950